

ОБЪЕДИНЕННЫЙ
ИНСТИТУТ
ЯДЕРНЫХ
ИССЛЕДОВАНИЙ

ДУБНА



СЗ41.26

A-941

P2 - 7264

4524/2-73

Г.Н.Афанасьев, С.М.Елисеев

О ВОЗМОЖНОСТИ
ЕДИНОГО ОПИСАНИЯ УРОВНЕЙ ЯДЕР
И РАССЕЯНИЯ АЛЬФА-ЧАСТИЦ И ЭЛЕКТРОНОВ

1973

ЛАБОРАТОРИЯ
ТЕОРЕТИЧЕСКОЙ ФИЗИКИ

P2 - 7264

Г.Н.Афанасьев, С.М.Елисеев

О ВОЗМОЖНОСТИ
ЕДИНОГО ОПИСАНИЯ УРОВНЕЙ ЯДЕР
И РАССЕЙЯНИЯ АЛЬФА-ЧАСТИЦ И ЭЛЕКТРОНОВ

Направлено в Acta Physica Polonica

1. Цель данной работы состоит в том, чтобы единым образом описать, по крайней мере качественно, уровни ядер, упругое рассеяние электронов и α -частиц. До настоящего времени эти эксперименты описывались следующим образом. Одночастичные уровни ядра находятся как собственные частоты одночастичного гамильтониана с некоторым внешним средним полем. При изучении рассеяния электронов зарядовая плотность ядра параметризуется в том или ином виде, а параметры определяются из условия наилучшего совпадения с экспериментальными формфакторами. Наконец, рассеяние α -частиц рассматривается либо в рамках оптической модели, либо в рамках параметризованного фазового анализа.

2. Мы стартуем с некоторого сферического среднего поля /явный вид мы укажем позднее/. Одночастичные волновые функции $\Psi_{\alpha}^{(p)}$, $\Psi_{\alpha}^{(n)}$ определяют протонную $\rho_p(r)$ и нейтронную компоненты плотности $\rho_n(r)$

$$\rho_p(r) = \sum_{\alpha} |\Psi_{\alpha}^{(p)}|^2,$$

$$\rho_n(r) = \sum_{\alpha} |\Psi_{\alpha}^{(n)}|^2.$$

Тогда в борновском приближении формфактор, описывающий рассеяние электронов на ядре, равен

$$F(q) = \frac{4\pi}{q} \int \rho_p(r) \sin(qr) r dr.$$

Имея $\rho_p(r)$ и $\rho_n(r)$ и зная амплитуды рассеяния α -час-

где k - волновой вектор протонов и нейтронов ядра, можно, пользуясь теорией Глаубера^[1,2], вычислить дифференциальное сечение упругого рассеяния α -частиц на заданном ядре. Условия применения теории Глаубера определяются неравенствами^[2]

$$kR \gg 1, \quad kV \gg 1,$$

где R - размер области взаимодействия, V - потенциал, k - волновой вектор. При упругом рассеянии ионов, когда происходит взаимодействие только на периферии сталкивающихся ядер эти условия выполняются. Например, при рассеянии α -частиц с энергией 40 Мэв на ядре ^{208}Pb $kR \approx 20$.

Величина амплитуды рассеяния α -частицы на ядре: $T(b) = F_0(b) - \frac{1}{2} \frac{1}{k} \sum (2l+1) \exp(2i\delta_l^c) (S_l - 1) p_l(\cos\theta)$.

Здесь $F_0(b)$ - фазовые амплитуды и фаза, δ_l^c - фазовые амплитуды и фаза α -частицы в l -м состоянии, начальная S -матрица равна^[2]

$$S_l = \exp(i\delta_l^c) \left[1 - i\beta_p \right] T_p(b) - \frac{1}{2} \alpha_n (1 - i\beta_n) T_n(b),$$

где T_p и T_n - фазовые сечения рассеяния α -частиц на протонах и нейтронах ядра; β_p , β_n - отношения реальных и мнимых частей амплитуды рассеяния α -частиц под нулевым углом на протонах и нейтронах ядра,

$$T_p(b) = \int_{-\infty}^{\infty} \rho_p(\sqrt{z^2 + b^2}) dz,$$

$$T_n(b) = \int_{-\infty}^{\infty} \rho_n(\sqrt{z^2 + b^2}) dz.$$

b - прицельный параметр; квазиклассически он следующим образом связан с орбитальным моментом l и параметром Зоммерфельда η : $kb(kb - 2\eta) = l(l+1)$.

Таким образом, при таком подходе одночастичная плотность и параметры элементарной амплитуды определяют элементы S -матрицы и дифференциальное сечение рассеяния

$$\frac{d\sigma}{d\Omega} = |F|^2.$$

3. В данной работе мы использовали в качестве среднего поля три потенциала:

1/ потенциал сферического осциллятора с параметром длины $1,24 A^{1/3}$;

2/ потенциал Вудса-Саксона с параметрами, определенными в ¹³;

3/ потенциал прямоугольной ямы, полученный из предыдущего стремлением параметра диффузности к нулю.

Поскольку работа носит на данном этапе качественный характер, мы ограничивались при описании рассеяния электронов борновским приближением и пренебрегали структурой протонов; при описании рассеяния α -частиц не учитывали их структуры. Использовались параметры σ и β элементарной амплитуды, усредненные по протонам и нейтронам ядра. Сечение σ принималось равным суммарной геометрической площади α -частицы и нуклона $\sigma \approx 26,3 \text{ ф}^2$, а $\beta \approx 4,5$. Никакой подгонки параметров σ и β пока не производилось. Все приводимые ниже результаты относятся к ²⁰⁸Pb.

4. На рис. 1-3 представлены плотности для осцилляторного потенциала, потенциала Вудса-Саксона и прямоугольной ямы. Кривые 1 и 2 соответствуют протонной и нейтронной компонентам плотности. На рис. 4 приведены результаты расчетов электронных формфакторов для одночастичного потенциала Вудса-Саксона. На рис. 5 - аналогичные расчеты для прямоугольной /кривая 1/ и осцилляторной /кривая 2/ ям. На рис. 6 сплошной и пунктирной линиями изображены зависимости вещественной и мнимой частей S -матрицы от углового момента ℓ для потенциала Вудса-Саксона, а на рис. 7-8 - для потенциалов осциллятора и прямоугольной ямы. Заметим, что в отличие от широко используемых при обработке эксперимента параметризаций /см., например, ¹⁴/ / мнимая и вещественная части S -матрицы испытывают несколько характерных осцилляций при малых ℓ . Однако неясно, имеют ли эти осцилляции физический смысл или являются следствием сделанных приближений. Наконец, на рис. 9-11 изображены дифференциальные сечения упругого рассеяния частиц с энергией 40 Мэв на ядре ²⁰⁸Pb для

потенциала Вудса-Саксона /рис. 9/, осциллятора /рис. 10/ и прямоугольной ямы /рис. 11/. Для потенциала Вудса-Саксона и прямоугольной ямы заметен рост дифференциального сечения для больших углов. Для осцилляторной ямы при выбранных выше σ, β такого роста нет.

Из-за упомянутых приближений и отсутствия подгонки σ, β мы не сравниваем в данной работе наши расчеты с данными эксперимента. Тем не менее теоретические дифференциальные сечения для прямоугольной ямы и потенциала Вудса-Саксона /но не для осциллятора/ правильно воспроизводит особенности ¹⁴⁾ хода экспериментального дифференциального сечения

5. Для обработки экспериментальных данных по рассеянию электронов широко используются феноменологические зарядовые распределения:

$$\rho(r) \approx \left[\frac{I}{I + \exp\left(\frac{r-r_0}{r_1}\right)} \right]^m$$

или же /5/

$$\rho_2(r) \approx \left[\frac{I}{c\hbar \frac{r}{b} + c\hbar \frac{R}{b}} \right]^n$$

/обычно выбирают $m=n=1$ /.

Во многих модельных расчетах фактически предполагается, что одночастичная зарядовая плотность не слишком сильно отличается от /5.1/ и /5.2/, т.е. допускают, что нуклон-нуклонные корреляции невелики. Если это так, то интересным является такой вопрос: какому одночастичному потенциалу отвечают распределения /5.1/ и /5.2/? На такой вопрос проще всего ответить для α -частицы, радиальная часть одночастичной волновой функции для которой пропорциональна корню квадратному из /5.1/ или /5.2/. Подставляя ρ в уравнение Шредингера и определяя собственное значение из условия обращения в нуль потенциала на бесконечно большом расстоянии, находим следующие выражения для одночастичных потенциалов, которые отвечают распределениям /5.1/ и /5.2/:

$$V_1(r) = -\frac{2m}{r r_1} \cdot \frac{1}{1 + \exp\left(-\frac{r-r_0}{r_1}\right)} - m \frac{m+(2m+1)\exp\left(\frac{r-r_0}{r_1}\right)}{\left[1 + \exp\left(\frac{r-r_0}{r_1}\right)\right]^2},$$

$$V_2(r) = -\frac{2n}{r b} \cdot \frac{\text{sh} \frac{r}{b}}{\text{ch} \frac{r}{b} + \text{ch} \frac{R}{b}} - n \frac{n(1 + \text{ch}^2 \frac{R}{b}) + \text{ch} \frac{r}{b} \text{ch} \frac{R}{b} (2n+1)}{\left(\text{ch} \frac{R}{b} + \text{ch} \frac{r}{b}\right)^2}.$$

Мы видим, что одночастичный потенциал состоит из короткодействующей части, убывающей экспоненциально, и длиннодействующей части, которая на больших расстояниях ведет себя, как $1/r$. К сожалению, знак длиннодействующей части оказывается неправильным, т.е. вместо кулоновского отталкивания получаем притяжение. Таким образом, несмотря на то, что распределения /5.1/ и /5.2/ неплохо описывают эксперименты по рассеянию электронов, налицо неувязка /если верно предположение о близости распределений /5.1/, /5.2/ к одночастичным/ между одночастичным потенциалом и соответствующей ему одночастичной плотностью. Легко видеть, что правильную асимптотику одночастичного потенциала, получаемого при подстановке в уравнение Шредингера пробной волновой функции, дают те волновые функции, асимптотика которых имеет вид

$$\approx \frac{e^{-kr}}{r(1 + \kappa/k)},$$

где

$$\kappa = \frac{2mze^2}{h^2}, \quad k^2 = \frac{2m|E|}{h^2}.$$

6. Обычно нуклоны помещаются в феноменологическое среднее поле $V(r)$, в котором вычисляются одночастичные волновые функции ядра:

$$-\frac{\hbar^2}{2m} \left(\frac{d^2 F}{dr^2} + \frac{2}{r} \frac{dF}{dr} - \frac{\rho(r)(\ell+1)}{r^2} F \right) + V(r)F = -|E|F.$$

Между тем ясно, что самим своим существованием это среднее поле обязано нуклонам, точнее, взаимодействию нуклонов друг с другом. Такое взаимодействие должно быть нелинейным. Простейшую нелинейность можно по-

лучить, если учесть, что в феноменологических моделях наблюдается примерная пропорциональность между потенциалом и одночастичной плотностью:

$$V(r) = -\frac{\hbar^2}{2\pi} \Lambda^2 \rho(r).$$

Опять-таки, ограничиваясь случаем α -частицы, получаем следующее нелинейное уравнение:

$$\frac{d^2 F}{dr^2} = \frac{2}{r} \frac{dF}{dr} + \Lambda^2 F^3 - k^2 F = 0.$$

Оно напоминает уравнение, ранее изучавшееся в нелинейной теории элементарных частиц^{16,71}. Обычный метод состоит в том, что отбрасывают в этом выражении член с первой производной, но учитывают привносимое им граничное условие:

$$\left. \frac{dF}{dr} \right|_{r=0} = 0,$$

Это аргументируется следующим образом¹⁸¹. Во внутренней области тяжелого ядра производными от $F(r)$ можно пренебречь. Вблизи поверхности член $(2/r)dF/dr$ мал по сравнению со второй производной, так как протяженность поверхностной области ядра мала по сравнению с радиусом ядра /см. формулы /2.16/ и /2.17/ в работе¹⁸¹/. В этом случае получаем для собственного значения и волновой функции следующее выражение:

$$|E| = \frac{2}{9} \cdot \frac{\hbar^2}{m} \cdot \frac{\pi^4}{\Lambda^4},$$

$$F(r) = \frac{2\sqrt{2}}{3} \cdot \frac{\pi^2}{\Lambda^3} \cdot \frac{1}{\text{ch}\left(\frac{2}{3} \frac{\pi^2}{\Lambda^2} r\right)}.$$

Такая зависимость качественно правильно воспроизводит экспоненциальное убывание волновой функции α -частицы. Применение этого метода к более тяжелым ядрам наталкивается на трудности, связанные с тем, что вместо одного нелинейного уравнения приходится решать систему нелинейных уравнений второго порядка.

Авторы благодарны проф. В.Г.Соловьеву за постоянный интерес к работе. Авторы признательны Ф.А.Гарееву за предоставление программы вычисления вудсаксоновских волновых функций.

Литература

1. R.J.Glauber. *High Energy Collision Theory. Lectures in Theoretical Phys.*, 1, Intersc. Publ. (1969).
2. A.Dar, Z.Kirzon. *Phys.Lett.*, 37B, No. 2, 166 (1970).
3. В.Г.Соловьев. *Теория сложных ядер. Наука, Москва, 1971.*
4. В.Ю.Гончар, К.С.Желпоног. *ЯФ*, 13, вып. 1 /1971/.
5. Ю.Н.Елдышев, В.К.Лукьянов, Ю.С.Поль. *Препринт ОИЯИ, Р4-631О, Дубна, 1972.*
6. R.Finkelstein, R.Le Levier, M.Ruderman. *Phys.Rev.*, 83, 326 (1951).
7. R.Finkelstein, K.Fronsdal, P.Kaus. *Phys.Rev.*, 103, 1571 (1956).
8. V.Malenka. *Phys.Rev.*, 86, 68 (1952).

Рукопись поступила в издательский отдел
20 июня 1973 года.

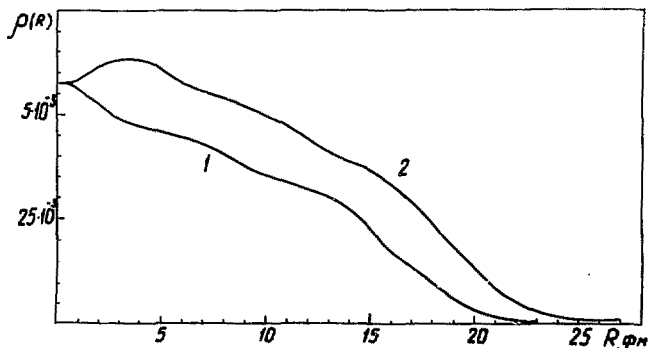


Рис. 1. Протонная /кривая 1/ и нейтронная /кривая 2/ компоненты плотности в осцилляторной яме для ^{208}Pb .

Рис. 2. Протонная /нижняя кривая/ и нейтронная /верхняя/ компоненты плотности в яме Вудса-Саксона для ^{208}Pb . Параметры ямы определены в тексте.

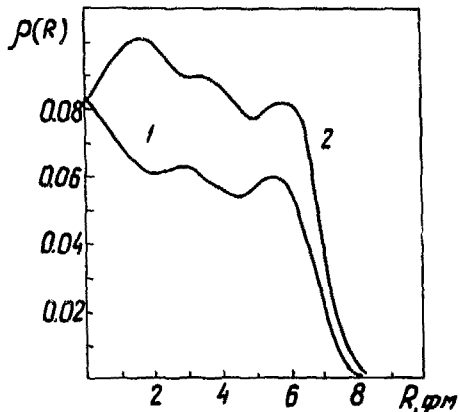
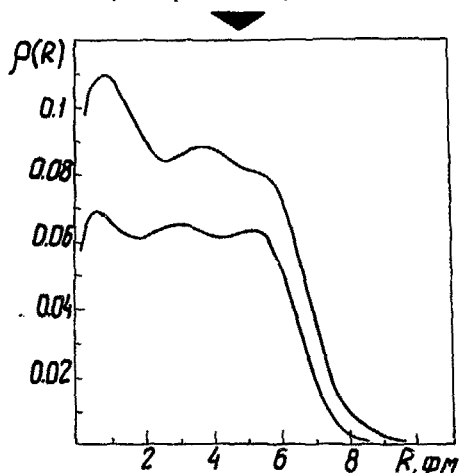


Рис. 3. Протонная /кривая 1/ и нейтронная /кривая 2/ компоненты плотности в прямоугольной яме для ^{208}Pb . Параметры ямы даны в тексте.

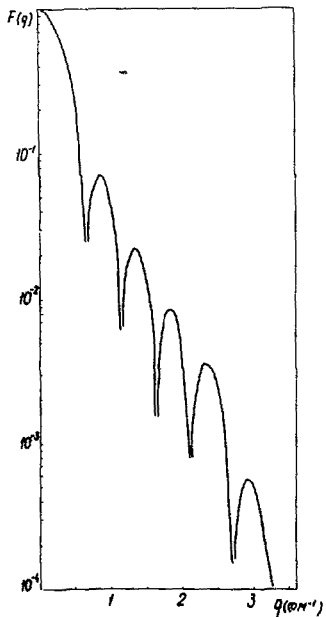


Рис. 4. Формфактор упругого рассеяния электронов на ^{208}Pb . Одночастичные волновые функции - вудс-саксоновские.

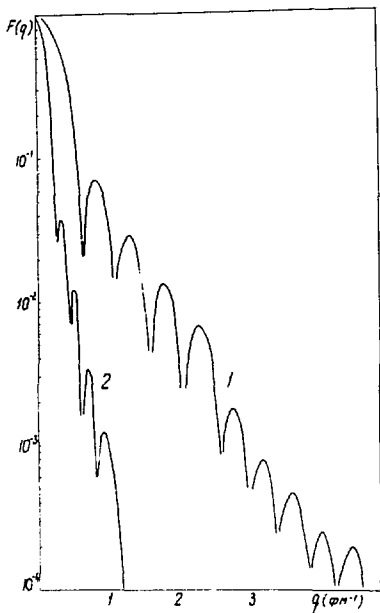


Рис. 5. Формфакторы упругого рассеяния электронов на ^{208}Pb . Одночастичные волновые функции генерируются прямоугольной ямой /кривая 1/ и осцилляторной /кривая 2/.

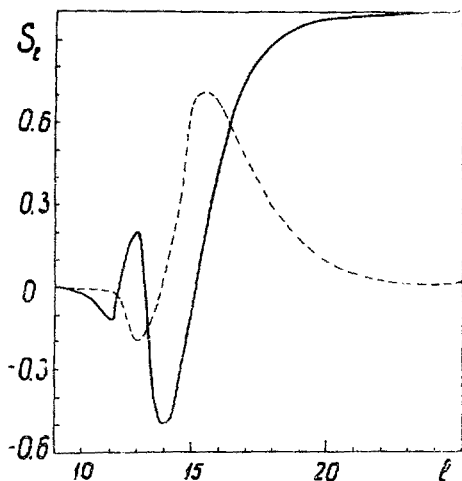


Рис. 6. Вещественная /сплошная кривая/ и мнимая /пунктирная/ части S -матрицы как функция углового момента l . Одночастичный потенциал - вудс-саксоновский.

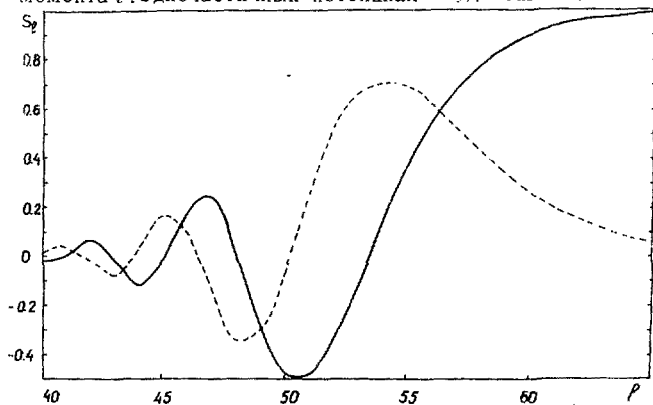


Рис. 7. Вещественная /сплошная кривая/ и мнимая /пунктирная/ части S -матрицы для осцилляторной ямы.

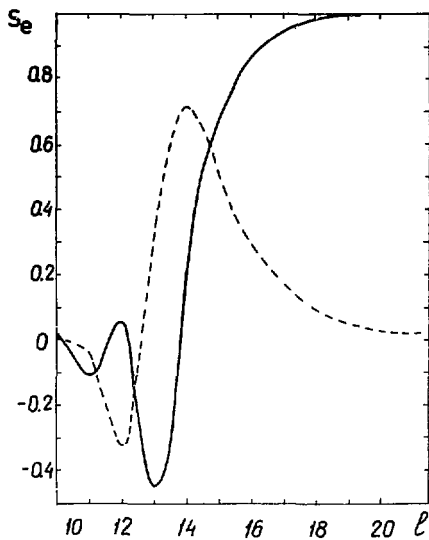


Рис. 8. Вещественная /сплошная кривая/ и мнимая /пунктирная/ части S -матрицы для прямоугольной ямы.

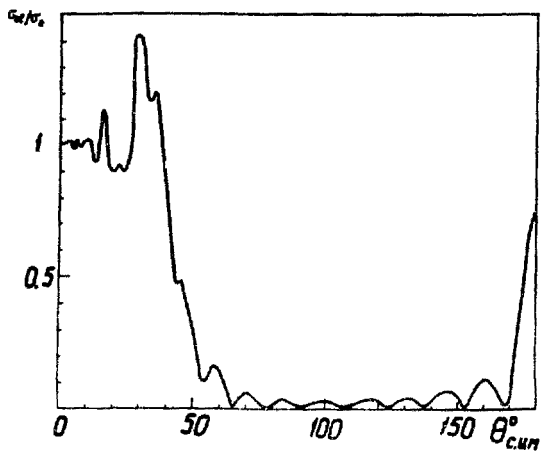


Рис. 9. Дифференциальное сечение упругого рассеяния 40 Мэв на ^{208}Pb . Одночастичные волновые функции альфа-частиц - вудс-саксоновские.

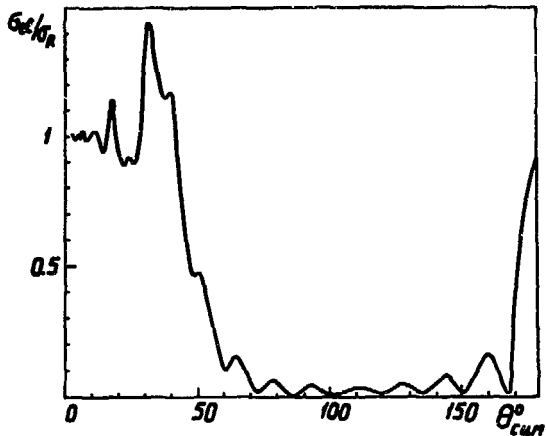


Рис. 10. Дифференциальное сечение упругого рассеяния 40 Мэв альфа-частиц на ^{208}Pb . Одночастичные волновые функции - осцилляторы.

Рис. 11. Дифференциальное сечение упругого рассеяния 40 Мэв альфа-частиц на ^{208}Pb . Одночастичные волновые функции генерируются прямоугольной ямой.

